

ارزیابی عملکرد غشا اولترافیلتراسیون تیتانیایی نانوساختار جهت جداسازی و تخریب فوتوكاتالیستی متیل اورنژ

وحیده تاجر کجینه‌باف^۱، حسین سرپولکی^{۲*}، تورج محمدی^۳

۱. دانشجوی دکتری مهندسی مواد، دانشکده مهندسی مواد و متالورژی، دانشگاه علم و صنعت ایران (vtajer@yahoo.com)
۲. دانشیار دانشکده مهندسی مواد و متالورژی، دانشگاه علم و صنعت ایران (hsarpoolaky@iust.ac.ir)
۳. استاد دانشکده مهندسی شیمی، آزمایشگاه جداسازی، دانشگاه علم و صنعت ایران (torajmohammadi@iust.ac.ir)

مشخصات مقاله	چکیده
تاریخچه مقاله:	در کار حاضر غشا اولترافیلتراسیون تیتانیایی نانوساختار با قابلیت همزمان فوتوكاتالیستی و جداسازی فیزیکی سنتز شد و عملکرد آن به منظور حذف متیل اورنژ از محلول آبی جهت کاربردهای زیست محیطی مورد بررسی قرار گرفت. غشا تیتانیایی از طریق رسوب سل پلیمری تیتانیا بر زیرپایه‌های آلومینیایی پوشش داده شده با تیتانیایی کلوئیدی تهییه و خواص آن با استفاده از تکنیک‌های پراکندگی دینامیکی نور (DLS)، آنالیز حرارتی (TG-DTA)، تفرق اشعه X (XRD)، میکروسکوپ الکترونی روبشی (FESEM) و میکروسکوپ نیروی اتمی (AFM) بررسی شد. فعالیت فوتوكاتالیستی غشا تیتانیایی بر پایه میزان تخریب متیل اورنژ در حضور امواج فرابنفش بررسی و قابلیت جداسازی متیل اورنژ از محلول آبی با اندازه‌گیری تغییرات غلظت محلول طی عبور از غشا با استفاده از دستگاه طیف‌سنجی (UV-vis) تعیین شد. بازده حذف رنگ از محلول متیل اورنژ بر پایه تخریب فوتوكاتالیستی حدود ۶۱٪ محاسبه شد که تلفیق آن با تکنیک جداسازی، این رقم را تا ۸۳٪ افزایش داد.
دریافت: ۱۴ آذر ۹۱ دریافت پس از اصلاح: ۸ اردیبهشت ۹۲ پذیرش نهایی: ۱۵ اردیبهشت ۹۲	
کلمات کلیدی:	غشا تیتانیایی متیل اورنژ تخریب فوتوكاتالیستی جداسازی

حقوق ناشر محفوظ است.

* عهده دار مکاتبات

۱- مقدمه

امروزه، بواسطه صنعتی شدن جوامع، تقاضا برای آب آشامیدنی با کیفیت بالا افزایش یافته است. فاضلابها که عموماً شامل ذرات یا مواد رنگی هستند، بطور جدی سلامت آب‌های زیرزمینی را تهدید می‌کنند [۱]. از این‌رو جداسازی فیزیکی آلاینده‌ها می‌تواند یک فرایند مؤثر برای تصفیه فاضلاب‌ها باشد [۲]. از زمان‌های دور به منظور جداسازی مواد و خالص‌سازی آن‌ها از فرایندهای مختلفی چون فیلتراسیون استفاده می‌شد [۴،۳]. در سال‌های اخیر نیز به منظور جداسازی انتخابی مواد با سرعت بالا، استفاده از سیستم‌های مembrانی به عنوان تکنیک نسبتاً جدید در دستور کار قرار گرفته است [۵]. جداسازی مembrانی یک تکنولوژی جدید با فوایدی چون هزینه انرژی کم، پتانسیل بالای بازیابی مواد، آسیب محیطی کم و پروسه‌های اصلاح شده مناسب با قابلیت حذف انتخابی است که در آن یک یا چند لایه غشا وظیفه جداسازی مواد را برعهده دارند [۷،۶]. در این سیستم انتقال آلودگی‌ها از یک فاز به فاز دیگر عموماً بدون هیچ‌گونه تخریبی صورت می‌گیرد. امروزه به دلیل حضور بسیاری از آلودگی‌ها و ترکیبات ناخواسته در آب، حذف آلاینده‌ها و کاهش تاثیرات مخرب آن‌ها، با استفاده از کاتالیست‌ها انجام می‌شود [۸]. برخی از این کاتالیست‌ها از جمله تیتانیا به شکل پودر در محیط آبی وارد شده و پس از تخریب آلاینده‌ها با استفاده از سیستم‌های فیلتراسیون از محیط آبی جدا می‌شوند که البته این کار علاوه بر صرف انرژی و هزینه بالا با دشواری‌های زیاد همراه است. در این روش دو تکنیک فوتوكاتالیستی و فیلتراسیون به صورت جدا از هم عمل کرده و منجر به مسدود شدن مembran توسط رسوب ذرات ریز تیتانیا می‌شود. علاوه بر آن طی این فرایند احتمال از بین رفتن میزان زیادی ذرات فوتوكاتالیستی تیتانیا نیز وجود دارد. برخی از محققین تلاش کردند تا برخی موادآلی سمی را توسط فوتوكاتالیست پودر تیتانیا و مembran‌های آلی از بین ببرند. اما مembran‌های آلی تحت تاثیر اشعه فرابنفش تخریب می‌شوند. رفع این مشکل با استفاده از مembran‌های کامپوزیتی سرامیکی با توانایی فوتوكاتالیستی امکان‌پذیر است. از میان مواد مختلف استفاده شده برای سنتر غشاهای سرامیکی با خاصیت فوتوكاتالیستی، تیتانیا به دلیل فعالیت بالای فوتوكاتالیستی، پایداری شیمیایی زیاد، شار بالای جریان، غیر سمی بودن و هزینه پایین می‌تواند به عنوان بهترین گرینه برای این هدف انتخاب شود [۱۰،۹]. از این‌رو در تحقیق حاضر ابتدا غشا تیتانیایی نانوساختار بوسیله رسوب و کلسیناسیون

۲- روش آزمایش

۲-۱- مواد اولیه

در این تحقیق از قرص‌های آلمینیایی با مشخصات مندرج در جدول ۱ به عنوان زیرپایه غشا تیتانیایی استفاده شد.

جدول (۱) مشخصات زیرپایه

تخلف باز (درصد)	جذب آب (درصد)	قطر حفره- ها (میکرومتر)	ابعاد قرص (میلیمتر)	ترکیب
۴۰	۱۵	۱-۳	قطر=۱۷ ضخامت=۲	alfa آلومینا

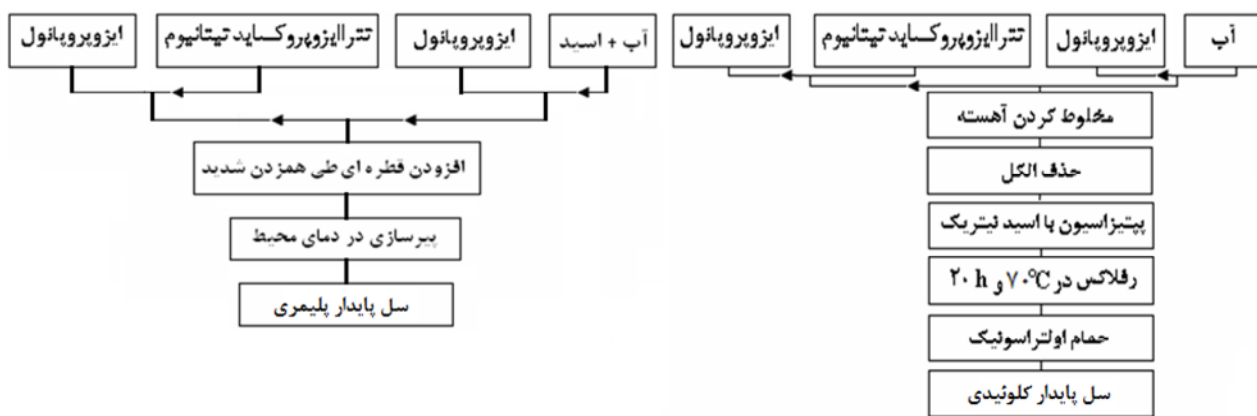
ترایزوپروکساید تیتانیوم (TTIP, Merck S4707295)، ایزوپروپانول (IPA, Merck K38122334)، اسید نیتریک HCl 37%， اسید کلریدریک (HNO₃ 65%, Merck 100456) و آب دی‌یونیزه به عنوان مواد اولیه برای تهیه سل‌های پایدار کلوئیدی و پلیمری تیتانیا استفاده شدند. از هیدروکسید پروپیل سلولز (HPC, Aldrich 435007) و پلی‌وینیل‌کلر (PVA, Acros 821038) نیز برای تنظیم ویسکوزیته سل کلوئیدی استفاده شد. همچنین ماده رنگی متیل اورنث (101322 C₁₄H₁₄N₃NaO₃S, Merck 327/34 g/mol به عنوان آلودگی مدل برای بررسی خاصیت فوتوكاتالیستی و قابلیت جداسازی غشا استفاده گردید.

۲-۲- سنتز غشا

در این تحقیق ابتدا با استفاده از مواد اولیه معرفی شده در بخش ۱-۲ و بر اساس نسبت‌های مندرج در جدول ۲، سل‌های پایدار کلوئیدی و پلیمری تیتانیا سنتر شد. مراحل آماده‌سازی سل‌های کلوئیدی و پلیمری در شکل ۱ نشان داده شده است.

جدول (۲) نسبت مواد اولیه جهت سل‌های کلوئیدی و پلیمری

سل پلیمری	سل کلوئیدی
TTIP/IPA=1/32 mol/mol	TTIP/IPA=0.45 mol/lit
TTIP/H ₂ O=1/0.8 mol/mol	H ₂ O/IPA=4.5 mol/lit
TTIP/HCl=1/0.1 mol/mol	Ti ⁴⁺ /H ₂ O=0.25 mol/lit
pH=2	pH=1.5



شکل (۱) مراحل آماده‌سازی سل‌های تیتانیایی کلوئیدی (راست) و پلیمری (چپ)

منظور تعیین سطح ویژه و اندازه تخلخل غشا با استفاده از تکنیک BET (Belsorp mini II, BEL Japan, Inc.) انجام شد. میزان تخریب فوتوكاتالیستی متیل اورنژ توسط غشا در حضور لامپ فرابینفش (Sunny, 360–415 nm, 125 W) از طریق اندازه‌گیری تغییرات غلظت محلول آلانینده قبل و بعد از تابش طی ۳۰ دقیقه اندازه‌گیری شد. بدین منظور مقادیر غلظت متیل اورنژ در محلول از طریق اندازه‌گیری مقادیر طی جذبی در طول موج ۴۶۵ نانومتر با استفاده از دستگاه-UV-visible spectrophotometer (Agilent, 8453) محاسبه شد [۱۱].

$$R (\%) = [(C_0 - C)/C] \times 100 \quad (1)$$

$$R = \text{بازده حذف متیل اورنژ}$$

$$= \text{غلظت متیل اورنژ در محلول اولیه (میلی گرم بر لیتر)}$$

$$C_0 = \text{غلظت متیل اورنژ در محلول نهایی (میلی گرم بر لیتر)}$$

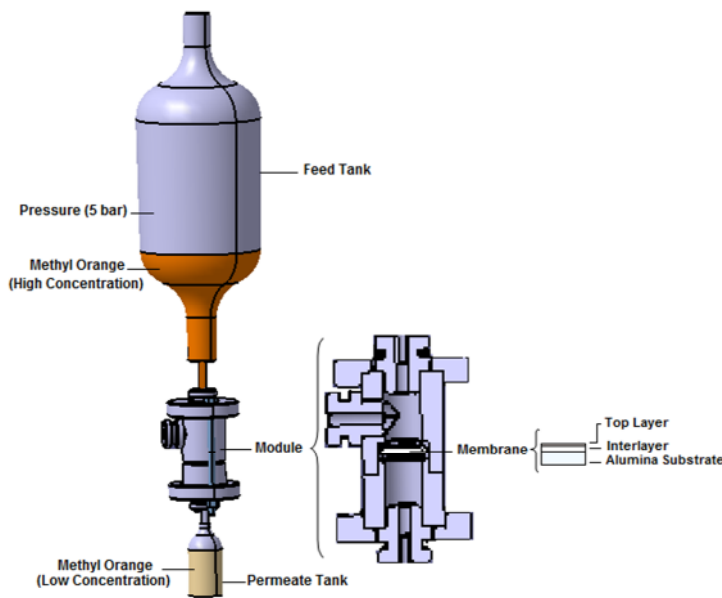
قابلیت جداسازی فیزیکی متیل اورنژ از محلول آبی نیز توسط غشا تیتانیایی با استفاده از سیستم فیلتراسیون ممبرانی تحت فشار ۵ بار که تصویر شماتیک آن در شکل ۲ نشان داده شده است، تعیین شد.

بدین منظور محلول متیل اورنژ با غلظت ۲۰ mg/lit به عنوان محلول تغذیه از سیستم فیلتراسیون عبور داده شد و بازده حذف متیل اورنژ مشابه حالت قبل با استفاده از رابطه (۱) تعیین گردید. طی فرایند جداسازی، شار جریان خروجی نیز تحت فشار ۵ بار بر اساس معادله (۲) تعیین شد [۱۲].

جهت افزایش ویسکوزیته سل کلوئیدی، محلولی از HPC و PVA با نسبت مشخص به سل اضافه شد. سپس زیرپایه‌های آلومینیایی به روش غوطه‌وری با سرعت ۶ mm/min توسط سل کلوئیدی، پوشش و پس از خشک شدن کلسینه شدند. وظیفه لایه کلوئیدی، ایجاد یک شیب تخلخلی از درشت تا ریز به ترتیب از زیرپایه تا غشا بالایی و همچنین جلوگیری از مسدود شدن تخلخل‌های زیرپایه بر اثر نفوذ سل پلیمری تیتانیاست. لایه بالایی سیستم ممبرانی (غشا) نیز با استفاده از رسوب سل پلیمری تیتانیا بر زیرپایه پوشش داده شده، به روش غوطه‌وری با سرعت ۶ mm/min و زمان ماندگاری ۳۰ ثانیه ایجاد شد. سپس مقداری از ژل پلیمری همراه قرص‌های پوشش داده شده پس از خشک شدن در دماهای مختلف کلسینه شد.

۳-۲- بررسی خواص

توزیع اندازه ذرات سل‌های کلوئیدی و پلیمری تیتانیا با استفاده از آنالیز پراکنده‌گی نوری (DLS, ZS3600 Malvern) تعیین شد. به منظور تعیین رفتار حرارتی و دمای کلسیناسیون مناسب لایه میانی و غشا بالایی در سیستم ممبرانی، آنالیز حرارتی (DTA-TG, PERKINELMER) در اتمسفر نیتروژن با سرعت ۷/۵°C/min بر ژل‌های تیتانیایی کلوئیدی و پلیمری انجام شد. تعیین فاز و اندازه کریستالی (XRD, JDX-8030, Jeol) نمونه‌ها با آنالیز تفرق اشعه X (XRD) در انجام پذیرفت. ساختار و ضخامت غشا تیتانیایی با استفاده از میکروسکوپ روبشی (FESEM, WEGA\TESCAN) با ولتاژ ۳۰ kV بررسی شد. مورفولوژی سطح غشا نیز با استفاده از (AFM, DualScope C-26, DME) میکروسکوپ نیروی اتمی (AFM) بررسی شد. مورفولوژی سطح غشا نیز با استفاده از میکروسکوپ قدرتی (FESEM) قرار گرفت. آنالیز جذب و واجدب نیتروژن به



شکل (۲) شماتیک سیستم فیلتراسیون Dead-end جهت آزمون جداسازی

پلیمری بر سطح زیرپایه پوشش داده شده با تیتانیایی کلوئیدی نیز بتواند یک لایه غشا تیتانیایی بدون عیب با اندازه تخلخل کوچک را ایجاد نماید.

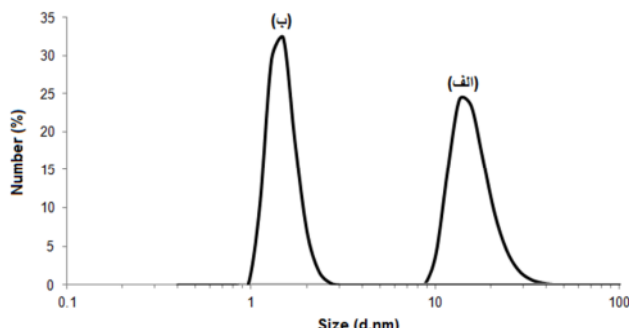
$$F = Q/A \cdot \Delta t \quad (2)$$

Q = مقدار محلول خروجی (cm^3)

A = سطح مؤثر غشا (m^2)

Δt = زمان عبوردهی (s)

بدین ترتیب در پژوهش حاضر غشا تیتانیایی نانوساختار با قابلیت همزمان جداسازی فیزیکی و تخریب فوتوكاتالیستی آلینده متیل اورنث، سنتز و عملکرد آن جهت حذف این ماده از محلول آبی ارزیابی شد.



شکل (۳) توزیع اندازه ذرات سل‌های (الف) کلوئیدی و (ب) پلیمری تیتانیا

۳- ارائه نتایج و تحلیل یافته‌ها

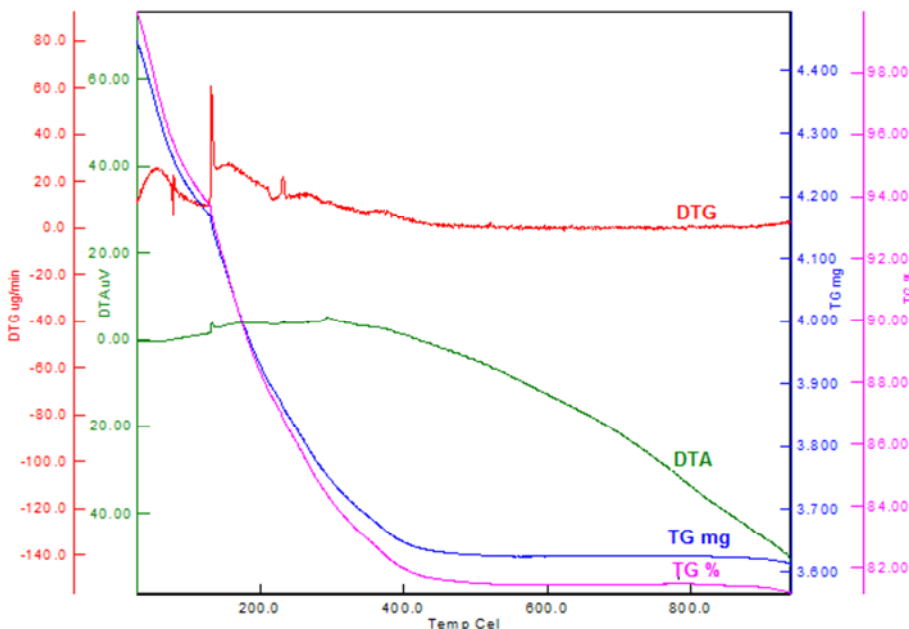
۱- آنالیز توزیع اندازه ذرات

توزیع اندازه ذرات سل‌های کلوئیدی و پلیمری تیتانیا که برای تهیه لایه میانی و بالایی سیستم ممبرانی مورد استفاده قرار گرفت در شکل ۳ نشان داده شده است.

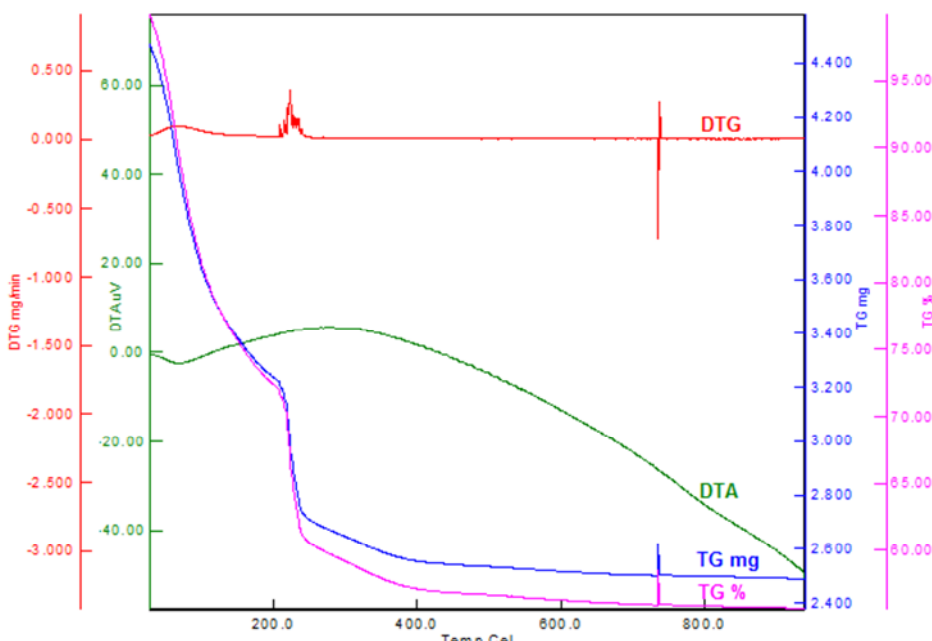
بر اساس شکل، توزیع اندازه ذرات سل کلوئیدی در محدوده ۹-۴۰ نانومتر و با میانگین ۱۴ نانومتر بدست آمد. در حالی که سل پلیمری توزیع باریکتری از ذرات را در محدوده ۱-۳ نانومتر و با میانگین ۱/۵ نانومتر داراست. بهوضوح می‌توان دریافت استفاده از سل کلوئیدی به دلیل داشتن اندازه ذرات بزرگ‌تر انتخاب مناسبی برای تشکیل لایه میانی به منظور پوشاندن سطح زیرپایه جهت جلوگیری از نفوذ سل پلیمری در آن است. همچنین به نظر رسید رسوی سل

۲- آنالیز حرارتی

به منظور بررسی رفتار حرارتی و تعیین دمای کلیسیناسیون لایه‌های تیتانیایی میانی و بالایی، آنالیز حرارتی از ژلهای کلوئیدی و پلیمری بعمل آمد. شکل ۴ نتایج بدست آمده از آنالیز حرارتی لایه میانی کلوئیدی را نشان می‌دهد. بر اساس شکل افزایش دما تا حدود 900°C با ۱۹٪ افت وزنی همراه است که ظاهراً طی دو مرحله صورت می‌گیرد. مرحله اول از دمای محیط تا 100°C که حدود ۶/۵٪ افت وزنی را شامل شده و با توجه به پیک گرمگیر منحنی DTA می‌تواند مربوط به حذف آب جذب سطحی شده از پودر باشد [۱۳-۱۵]. مرحله دوم از 100°C تا 420°C که با افت وزنی ۱۲/۵٪ همراه بوده و



شکل (۴) آنالیز حرارتی ژل کلوبیدی تیتانیا (لایه میانی)



شکل (۵) آنالیز حرارتی ژل پلیمری تیتانیا (غشا بالایی)

بر اساس این شکل افزایش دما تا 90°C حدوداً با 45% افت وزنی طی چهار مرحله همراه است. مرحله اول از دمای محیط تا 80°C که حدود 19% افت وزنی را شامل شده و می‌تواند مربوط به حذف الكل موجود در نمونه باشد. مرحله دوم از 80°C تا 200°C با افت وزنی 9% که می‌تواند به حذف آب سطحی نسبت داده شود [۱۷]. مرحله سوم از 200°C تا 250°C با 10% افت وزنی که می‌تواند تاشی از تجزیه گروههای آلكوکسی (OC_3H_7^-) باشد [۱۷]. افت وزنی 7% در

احتمالاً ناشی از دی‌هیدراتاسیون $\text{Ti}(\text{OH})_4$ به TiO_2 است. با توجه به پیک گرمaza در دمای 300°C در منحنی DTA به نظر می‌رسد استحاله آمورف به آناتاز نیز در همین ناحیه صورت می‌گیرد [۱۶]. بر این اساس در راستای اطمینان از خروج کامل مواد آلی لازم به نظر رسید فرایند کلسیناسیون لایه میانی در دمای 450°C انجام گیرد. نتایج مربوط به آنالیز حرارتی ژل پلیمری تیتانیا نیز در شکل ۵ نشان داده شده است.

برخی از محققین ادعا کردند فاز آناتاز با اندازه کریستالیت ۸-۱۰ نانومتر بهترین خاصیت فتوکاتالیستی را از خود ارائه می‌دهد [۱۸]. بدین منظور تعیین اندازه کریستالیت فاز آناتاز با استفاده از معادله دبای شر بر اساس رابطه (۳) تعیین شد [۲۰-۲۲] که نتایج آن در جدول ۳ نشان داده شده است.

$$D = K\lambda/\beta \cos\theta \quad (3)$$

D = اندازه کریستالیت

K = ثابت شر معادل $1/89$

λ = طول موج اشعه X (15418 Å برای $Cu K\alpha$)

β = نصف پهنای پیک ماکزیمم در 2θ

بر اساس نتایج بدست آمده از آنالیزهای حرارتی و فازی، دمای 450°C به عنوان دمای بهینه کلسیناسیون غشا تیتانیایی به دلیل اطمینان از خروج کامل مواد آلی و دستیابی به فاز آناتاز با اندازه کریستالیت مناسب، انتخاب شد.

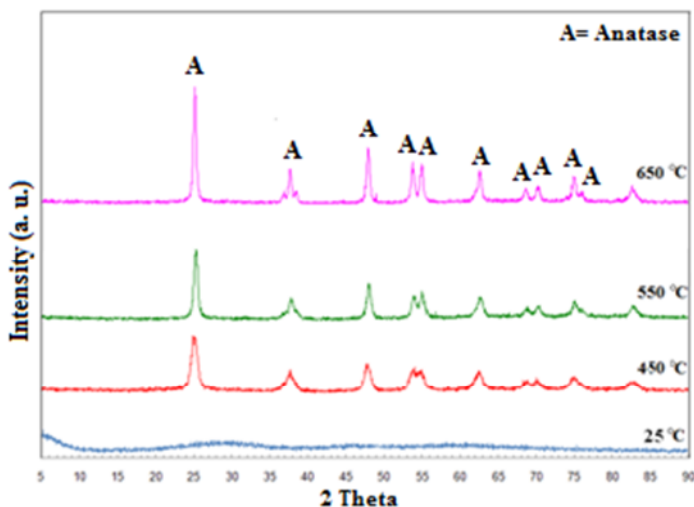
۴-۳- بررسی ریزساختاری

تصاویر میکروسکوپی از سطح و سطح مقطع غشا تیتانیایی کلسینه شده در 450°C در شکل ۷ نشان داده شده است.

مرحله چهارم نیز که در دمای 250°C تا 370°C صورت گرفته، به واکنش دی‌هیدراته شدن $Ti(OH)_4$ نسبت داده می‌شود. با توجه به پهنای زیاد پیک گرمائیر DTA که مراحل سوم و چهارم منحنی TG را شامل می‌شود، می‌توان استنباط کرد در تیتانیای پلیمری استحاله فازی از آمورف به آناتاز همزمان با فرایند دی‌هیدراته شدن صورت می‌گیرد که بر این اساس لازم است کلسیناسیون در دمایی بالاتر از آن صورت گیرد.

۳-۳- آنالیز فازی

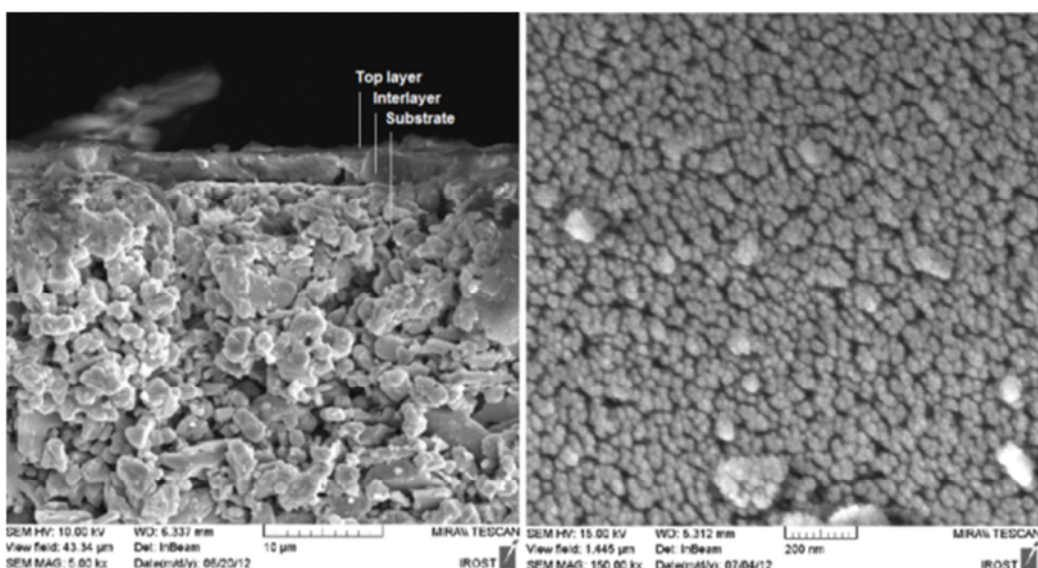
جهت تعیین دقیق دمای کلسیناسیون غشا بالایی، آنالیز فازی بر تیتانیای پلیمری کلسینه شده در دماهای مختلف انجام شد که نتایج آن در شکل ۶ نشان داده شده است. بر اساس شکل، غشا تیتانیایی قبل از کلسیناسیون، آمورف بوده که با افزایش دما پیک‌های مربوط به فاز آناتاز ظاهر شده و با افزایش دما بر شدت این پیک‌ها افزوده می‌شود. لازم به ذکر است بر اساس مطالعات صورت گرفته، بالاترین خاصیت فتوکاتالیستی تیتانیا نیز در فاز آناتاز دیده می‌شود [۱۸، ۱۹].



شکل (۶) آنالیز فازی از غشا تیتانیایی در دماهای مختلف

جدول (۳) نتایج آنالیز فازی از غشا تیتانیایی

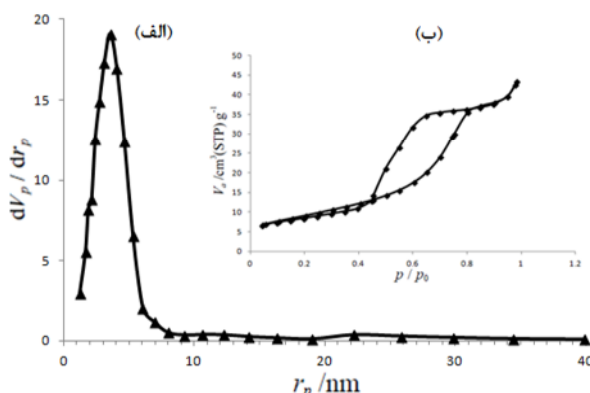
دما (درجه سانتیگراد)	نوع فاز	اندازه کریستال (نانومتر)
۶۵۰	آناتاز	۳۱/۸
۵۵۰	آناتاز	۱۵/۸
۴۵۰	آناتاز	۹/۶
۲۵	آمورف	-



شکل (۷) تصاویر میکروسکوپ الکترونی از سطح (راست) و مقطع (چپ) غشا تیتانیایی

۶-۳- آنالیز جذب و اجذب نیتروژن

جهت تعیین سطح پیزه مؤثر و توزیع اندازه تخلخل غشا بالایی، آنالیز جذب و اجذب از تیتانیای پلیمری بعمل آمد که نتایج آن در شکل ۹ نشان داده شده است.



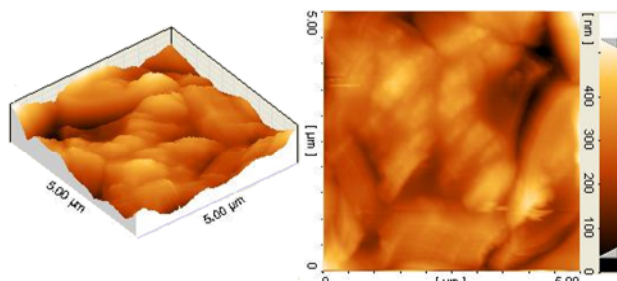
شکل (۹) آنالیز BET: نمودارهای (الف) BET و (ب) جذب و اجذب

نمودار BJH نموداری است که توزیع اندازه حفرات ماده را در بازه ۱-۱۰۰ نانومتر نشان می‌دهد. بر اساس شکل ۹-الف، مدل منحنی BJH برای غشا تیتانیایی، توزیع باریکی از تخلخل‌ها را در محدوده ۱-۹ نانومتر نشان می‌دهد که بر این اساس و مطابق با استاندارد IUPAC غشا تیتانیایی سنتز شده در گروه غشاها اولترافیلتراسیون طبقه‌بندی خواهد شد. همچنین بر اساس همین استاندارد، الگوی حلقه هیسترزیس در شکل ۹-ب معرف مواد مزومتخلخل خواهد بود [۲۴، ۲۳]. بر

تصویر سمت راست، غشا تیتانیایی کاملاً یکنواخت و بدون ترک را نشان می‌دهد که از ذرات تیتانیا با ابعاد تقریبی ۱۰ نانومتر تشکیل شده است. این نتایج با اندازه کریستالیت محاسبه شده از آنالیز فازی نیز مطابقت دارد. همچنین تصویر سمت چپ نشان می‌دهد لایه میانی حاصل از تیتانیای کلوریدی با ضخامتی حدود ۲/۵ میکرون بر سطح زیرپایه آلومینیایی و غشا بالایی با ضخامتی حدود ۰/۵ میکرون بر سطح لایه میانی تشکیل شده است.

۵-۳- بررسی مورفولوژی سطح

تصاویر بدست آمده از AFM در شکل ۸ به خوبی مورفولوژی سطح غشا تیتانیایی را نشان می‌دهد.



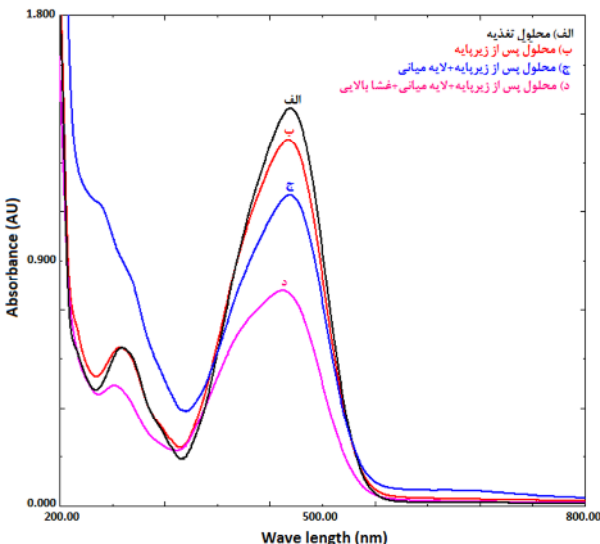
شکل (۸) تصاویر AFM دوبعدی (راست) و سه‌بعدی (چپ) از غشا

این تصاویر برآمدگی و فورفتگی‌هایی را در سطح غشا تیتانیایی نشان می‌دهد که حضور آن‌ها می‌تواند در جذب انرژی فوتون‌ها به منظور فرایند فتوکاتالیستی نقش مؤثری را داشته باشد.

فراهم می‌کنند که این امر می‌تواند پروسه فوتوكاتالیستی را به میزان قابل توجهی تسريع کند. از طرفی زبری سطح، مساحت بیشتری را نیز جهت جذب متیل اورنژ به عنوان مدل آلدگی فراهم کرده و همچنین با بازتاب چند مرحله‌ای امواج، قابلیت جذب فوتون‌ها را به میزان زیادی افزایش می‌دهد.

۸-۳- آزمون جداسازی فیزیکی

قابلیت جداسازی آلینده توسط غشا با اندازه‌گیری مستقیم تغییرات غلظت محلول متیل اورنژ پس از عبور از سیستم فیلتراسیون (مطابق شکل (۲) تحت فشار ۵ بار بررسی شد. غلظت متیل اورنژ در محلول با اندازه‌گیری طیف جذبی محلول‌ها مطابق با شکل ۱۱ و بر اساس منحنی کالیبراسیون تعیین شد.



شکل (۱۱) تغییرات طیف جذبی محلول متیل اورنژ قبل و بعد از جداسازی فیزیکی توسط بخش‌های مختلف سیستم ممبرانی

شکل ۱۲ کاهش غلظت محلول متیل اورنژ را پس از عبور از زیرپایه، لایه میانی و لایه بالایی با یکدیگر مقایسه می‌کند. این نمودار نشان می‌دهد غلظت محلول متیل اورنژ پس از عبور از زیرپایه، لایه میانی و غشا بالایی به میزان قابل توجهی کاهش می‌یابد. با توجه به غلظت بدست آمده و بر اساس رابطه (۱)، بازده حذف متیل اورنژ در حضور زیرپایه آلومینیایی حدود ۴٪ است که با اعمال لایه‌های میانی و سپس غشا بالایی تیتانیایی این رقم به ترتیب تا ۲۰٪ و ۵۲٪ افزایش می‌یابد.

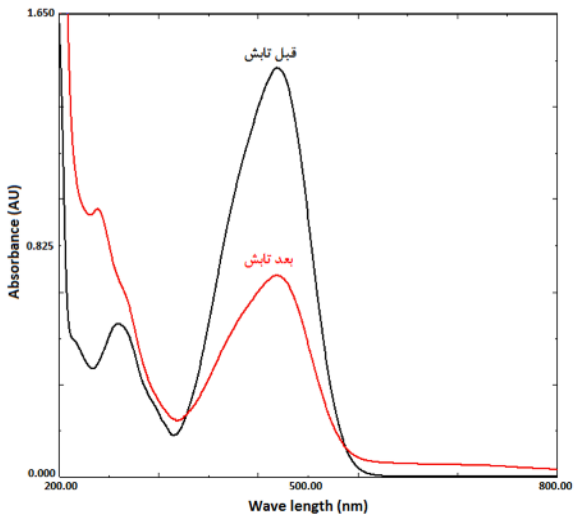
اساس آنالیز BET، برای غشا تیتانیایی سنتز شده در این پژوهش سطح ویژه مؤثر ۳۲/۸ متر مربع بر گرم، حجم تخلخل ۰/۰۶۷ متر مکعب بر گرم و قطر تخلخل ۸/۱۷ نانومتر بدست آمد که نتایج آن در جدول ۴ خلاصه شده است.

جدول (۴) نتایج آنالیز جذب و واجدب از غشا تیتانیایی

میانگین قطر تخلخل [nm]	توزیع تخلخل [nm]	حجم کل تخلخل [cm ³ /g]	سطح ویژه مؤثر [m ² /g]
۸/۱۷	۱-۹	۰/۰۶۷	۳۲/۸

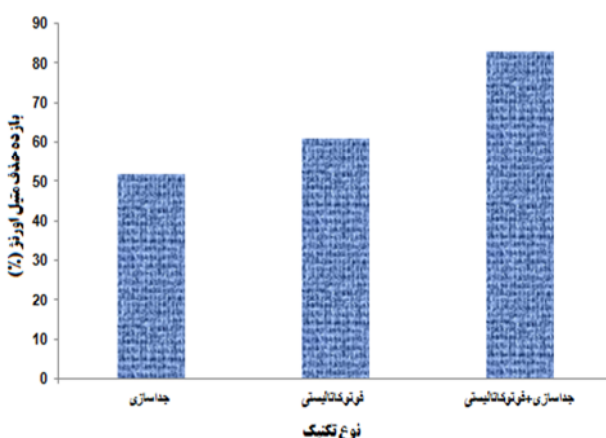
۷-۳- آزمون فوتوكاتالیستی

رفتار فوتوكاتالیستی غشا تیتانیایی اولترافیلتراسیون با استفاده از تغییرات منحنی جذب محلول متیل اورنژ تحت تأثیر غشا و در حضور امواج فرابنفش طی ۳۰ دقیقه بررسی شد که نتایج آن در شکل ۱۰ نشان داده شده است.



شکل (۱۰) تغییرات منحنی جذب محلول متیل اورنژ قبل و بعد از تابش

بازده حذف متیل اورنژ تحت این شرایط در طول موج ۴۶۵ نانومتر با استفاده از منحنی کالیبراسیون و بر اساس رابطه (۱) محاسبه شد. بر اساس محاسبات انجام شده، توانایی غشا تیتانیایی جهت حذف متیل اورنژ از محلول آبی ۶۱٪ تعیین شد. به نظر می‌رسد زبری سطح غشا که بر اساس تصاویر AFM نیز تایید شد توانایی قابل توجهی را برای به دام انداختن انرژی فوتون‌های موجود جهت فوتوكاتالیستی فراهم کند؛ زیرا ناهمواری‌های سطحی، مساحت مؤثر بیشتری را برای انجام فرایند فوتوكاتالیستی در یک مقیاس مشخص



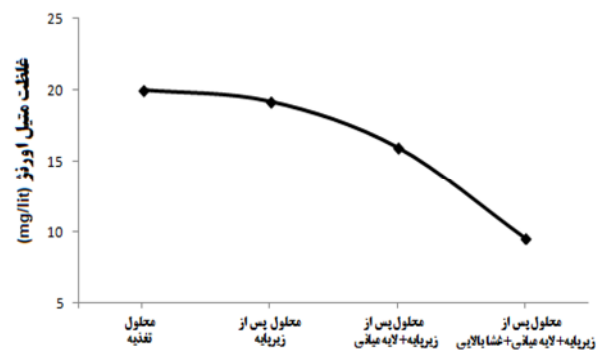
شکل (۱۴) بازده حذف متیل اورنژ از محلول آبی توسط غشا تیتانیایی با تکنیک‌های مختلف

بر اساس این نمودار بازده حذف متیل اورنژ توسط غشا تیتانیایی با تلفیق همزمان تکنیک‌های جداسازی و فوتوكاتالیستی تا ۸۳٪ افزایش یافته است؛ در حالی که این مقدار برای هر یک از تکنیک‌های جداسازی و فوتوكاتالیستی به صورت مستقل به ترتیب به ۵۲٪ و ۶۱٪ بدست آمد.

۴- نتیجه‌گیری

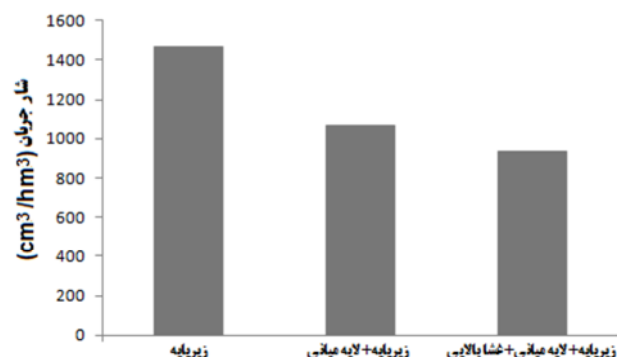
در این پژوهش غشا تیتانیایی اولترافیلتراسیون نانوساختار با قابلیت همزمان تخریب فوتوكاتالیستی و جداسازی فیزیکی متیل اورنژ از محلول آبی سنتز و عملکرد آن مورد ارزیابی قرار گرفت. بدین منظور با پوشش و کلسیناسیون تیتانیایی حاصل از سل کلوئیدی بر زیرپایه آلومینیمی به عنوان لایه میانی و سپس پوشش و کلسیناسیون سل پلیمری تیتانیا بر آن، غشا تیتانیایی مورد نظر سنتز و خواص آن بررسی شد. میانگین اندازه ذرات سل کلوئیدی و پلیمری تیتانیا به ترتیب معادل ۱۴ و ۱/۵ نانومتر تعیین شد. غشا سنتزی، سطح ویژه ۳۲/۸ متر مربع بر گرم، حجم کل تخلخل ۰/۰۶۷ متر مکعب بر گرم و اندازه تخلخل ۸/۱۷ نانومتر و اندازه کریستالیت ۹/۶ نانومتر را نشان داد. بازده حذف متیل اورنژ بر اساس قابلیت فوتوكاتالیستی غشا سنتزی، ۶۱٪ تعیین شد که ترکیب آن با تکنیک جداسازی فیزیکی این رقم را تا ۸۳٪ افزایش داد. بدین ترتیب حذف متیل اورنژ از محلول آبی بر اساس تکنیک‌های تخریب فوتوكاتالیستی و جداسازی فیزیکی با استفاده از غشا اولترافیلتراسیون تیتانیایی نانوساختار امکان‌پذیر شد.

مراجع



شکل (۱۲) غلظت محلول متیل اورنژ قبل و بعد از عبور از زیرپایه، لایه میانی و غشا بالایی تیتانیایی

همچنین با استفاده از همین سیستم شار جریان در حضور عوامل یاد شده نیز مطابق معادله (۲) تعیین شد که نتایج آن در شکل ۱۳ نشان داده شده است.



شکل (۱۳) شار جریان عبوری از زیرپایه، لایه میانی و غشا بالایی

این نمودار به وضوح نشان می‌دهد که شار جریان عبوری از زیرپایه آلومینیمی معادل $1470\text{ cm}^3/\text{hm}^2$ است که مقدار آن با حضور لایه میانی با ضخامت ۲/۵ میکرون تا حدود $1069\text{ cm}^3/\text{hm}^2$ کاهش می‌یابد. با این وجود بر اساس نمودار، با رسوب غشا بالایی تیتانیایی بر سطح زیرپایه پوشش داده شده با تیتانیایی کلوئیدی شار جریان نسبت به حالت قبل کاهش کمتری را نشان داده و به $935\text{ cm}^3/\text{hm}^2$ می‌رسد. کاهش شار می‌تواند به کاهش اندازه تخلخل‌ها در لایه‌های مختلف نسبت داده شود. این آزمون یکی از بهترین روش‌ها برای بررسی ساختار و مورفولوژی غشاهای سنتزی است [۲۵].

به منظور افزایش بازده حذف متیل اورنژ از محلول آبی توسط غشا تیتانیایی در یک بازه زمانی مشخص، از تلفیق تکنیک‌های جداسازی و فوتوكاتالیستی بهره گرفته شد که نتایج آن در شکل ۱۴ مقایسه شده است.

- [14] A. Kermanpur, E. Ghassemali and S. Salemizadeh (2008) "Synthesis and characterisation of microporous titania membranes by dip-coating of anodised alumina substrates using sol-gel method", *Journal of Alloys and Compounds*, 461, 331-335
- [15] S. Mayadevi, S. S. Kulkarni, A. J. Patil, M. H. Shindeh, H. S. Potdar, S. B. Deshpande and S. K. Date (2000) "Controlled chemical precipitation of titania for membrane applications—effect of heat treatment and fabrication conditions on its performance", *Journal of Materials Science*, 35, 2000, 3943-3949
- [16] Y. H. Xu and Z. X. Zeng (2008) "The preparation, characterization, and photocatalytic activities of Ce-TiO₂/SiO₂", *Journal of Molecular Catalysis A: Chemical*, 279, 77-81
- [17] J. Sekulić-Kuzmanović (2004) "*Mesoporous and Microporous Titania Membranes*", PhD thesis: Twente University, 75-76
- [18] F. Bosc, A. Ayral, P. A. Albouy and Ch. Guizard (2003) "A Simple Route for Low-Temperature Synthesis of Mesoporous and Nanocrystalline Anatase Thin Films", *Chemistry of Materials*, 15, 2463-2468
- [19] P. Periyat, K. V. Baiju, P. Mukundan, P. K. Pillai and K. G. K. Warrier (2008) "High temperature stable mesoporous anatase TiO₂ photocatalyst achieved by silica addition", *Applied Catalysis A: General*, 349, 13-19
- [20] Yu. V. Kolen'ko, B. R. Churagulov, M. Kunst, L. Mazerolles and C. Colbeau-Justin (2004) "Photocatalytic properties of titania powders prepared by hydrothermal method", *Applied Catalysis B: Environmental*, 54, 51-58
- [21] Th. Sreethawong, Y. Suzuki and S. Yoshikawa (2005) "Synthesis, characterization, and photocatalytic activity for hydrogen evolution of nanocrystalline mesoporous titania prepared by surfactant-assisted templating sol-gel process", *Journal of Solid State Chemistry*, 178, 329-338
- [22] Zh. Li, B. Hou, Y. Xu, D. Wu, Y. Sun, W. Hu and F. Deng, (2005) "Comparative study of sol-gel-hydrothermal and sol-gel synthesis of titania-silica composite nanoparticles", *Journal of Solid State Chemistry*, 178, 1395-1405
- [23] K. S. W. Sing, D. H. Everett, R. A. W. Haul, L. Moscou, R. A. Pierotti, J. Rouquerol and T. Siemieniewska (1985) "Reporting physisorption data for gas/solid systems with special reference to the determination of surface area and porosity", *Pure and Applied Chemistry*, 57, 603-619.
- [24] K. S. W. Sing (1982) "Reporting Physisorption Data For Gas/Solid Systems", *Pure and Applied Chemistry*, 54(11), 2201-2218.
- [25] E. Saljoughi, M. Sadrzadeh and T. Mohammadi (2009) "Effect of preparation variables on morphology and pure water permeation flux through asymmetric cellulose acetate membranes", *Journal of Membrane Science*, 326, 627-634
- [1] Ch. Ch. Liu, Y. H. Hsieh, P. F. Lai, Ch. H. Li and Ch. L. Kao (2006) "Photodegradation treatment of azo dye wastewater by UV/TiO₂ process", *Dyes and Pigments*, 68, 191-195
- [2] N. Ma, X. Quan, Y. Zhang, Sh. Chen and H. Zhao (2009) "Integration of separation and photocatalysis using an inorganic membrane modified with Si-doped TiO₂ for water purification", *Journal of Membrane Science*, 335, 58-67
- [3] K. Kimura, M. Nakamura and Y. Watanabe (2002) "Nitrate removal by a combination of elemental sulfur-based denitrification and membrane filtration", *Water Research*, 36, 1758-1766
- [4] A. Santafé-Moros, J. M. Gozález-Zafra and J. Lora-García (2007) "Nitrate removal from ternary ionic solutions by a tight nanofiltration membrane", *Desalination*, 204, 63-71
- [5] علی عالم، حسین سرپولکی و حسین قصاعی (۱۳۸۵) "نقش و اهمیت کاربرد مembrانها در صنعت تصفیه آب"، فصلنامه سرامیک ایران، ۹، ۴۵-۳۵
- [6] X. Huang, M. Leal and Q. Li (2008) "Degradation of natural organic matter by TiO₂ photocatalytic oxidation and its effect on fouling of low-pressure membranes", *Water Research*, 42, 1142
- [7] B. S. Karnik, S. H. R. Davies, K. C. Chen, D. R. Jaglowski, M. J. Baumann and S. J. Masten (2005) "Effects of ozonation on the permeate flux of nanocrystalline ceramic membranes", *Water Research*, 39, 728
- [8] Sh. Song, L. Xu, Zh. He, H. Ying, J. Chen, X. Xiao and B. Yan (2008) "Photocatalytic degradation of C.I. Direct Red 23 in aqueous solutions under UV irradiation using SrTiO₃/CeO₂ composite as the catalyst", *Journal of Hazardous Materials*, 152, 1301-1308
- [9] A. Alem, H. Sarpoolaky and M. Keshmiri (2009) "Titania ultrafiltration membrane: Preparation, characterization and photocatalytic activity", *Journal of the European Ceramic Society*, 29, 629-635
- [10] A. Alem, H. Sarpoolaky and M. Keshmiri (2009) "Sol-gel preparation of titania multilayer membrane for photocatalytic applications", *Ceramics International*, 35, 1837-1843
- [11] A. A. Ismail, I. A. Ibrahim, M. S. Ahmed, R. M. Mohamed and H. El-Shall (2004) "Sol-gel synthesis of titania-silica photocatalyst for cyanide photodegradation", *Journal of Photochemistry and Photobiology A: Chemistry*, 163, 445-451
- [12] M. Sivakumar, D. R. Mohan and R. Rangarajan (2006) "Studies on cellulose acetate poly sulfone ultrafiltration membranes II. Effect of additive concentration", *Journal of Membrane Science*, 268, 208-219.
- [13] K. G. K. Warrier, S. R. Kumar, C. P. Sibu and G. Werner (2001) "High Temperature Stabilisation of Pores in Sol-Gel Titania in Presence of Silica", *Journal of Porous Materials*, 8, 311-317

Evaluation of Nanostructured Titania Ultrafiltration Membrane for Separation and Photocatalytic Degradation of Methyl Orange

Vahideh Tager-Kajinebaf¹; Hossein Sarpoolaky^{1,*}; Toraj Mohammadi²

- 1- School of Metallurgy and Materials Engineering, Iran University of Science & Technology,
2- School of Metallurgy and Materials Engineering, Iran University of Science & Technology,
(hsarpoolaky@iust.ac.ir)
3- Research Laboratory for Separation Processes, Faculty of Chemical Engineering, Iran
University of Science and Technology,

ABSTRACT

In the present work, the nanostructured titania ultrafiltration membrane with photocatalytic and physical separation capabilities was synthesized for methyl orange removal of aqueous solution. Thus, a polymeric titania sol was deposited and calcined on the colloidal titania-coated alumina substrates. The properties of samples were investigated by dynamic light scattering (DLS), thermogravimetric and differential thermal analysis (TG-DTA), X-ray diffraction (XRD), field emission electron microscopy (FESEM), and atomic force microscopy (AFM) techniques. Photocatalytic activity of titania membrane was investigated by photodegradation of methyl orange in the presence of UV-radiation. Also, physical separation of methyl orange was obtained by determination of the solution concentration changes after passing of titania membrane. Based on photocatalytic degradation, the removal efficiency of methyl orange was determined to be 61% that by coupling separation technique, it was improved to 83%.

ARTICLE INFO

Article history:

Received: 4 Dec 2012

Revised: 28 Apr 2013

Accepted: 5 May 2013

Key words:

Titania membrane

Methyl orange

Photocatalytic degradation

Separation

All right reserved.

* Corresponding author